

# Atividade 1 – Condução Unidimensional Permanente

Gilberto Ribeiro Pinto Júnior – RA 203324

Agosto de 2022

## 1 Enunciado

Determinar a distribuição de temperaturas ao longo de uma aleta de seção transversal uniforme retangular de dimensões  $L = 1$  m,  $P = 0.4$  m e  $A_c = 0.01$  m<sup>2</sup> cuja condutividade térmica é  $k = 100$  W/m · K submetida à uma temperatura em sua base de  $T_b = 300$  °C e estando em um ambiente cuja temperatura é  $T_\infty = 20$  °C e coeficiente de transferência de calor por convecção médio é  $h = 10$  W/m<sup>2</sup> · K. O perfil de temperaturas deve ser determinado analiticamente e numericamente empregando o Método dos Volumes Finitos para 5 e 10 nós.

## 2 Resolução

Realizando um balanço de energia em um elemento infinitesimal da aleta, obtém-se a seguinte equação diferencial para a determinação do perfil de temperaturas ao longo de seu eixo  $x$  (BERGMAN; LAVINE, 2017):

$$\frac{d^2 T}{dx^2} - \frac{hP}{kA_c} (T - T_\infty) = 0 \quad (1)$$

cujas condições de contorno adotadas são a temperatura fixa na base da aleta (condição de Dirichlet):

$$T(0) = T_b \quad (2)$$

e a transferência de calor por convecção em sua extremidade (condição de Neumann):

$$-k \left. \frac{dT}{dx} \right|_{x=L} = h [T(L) - T_\infty] \quad (3)$$

Dessa forma, pode-se obter o perfil de temperaturas ao longo do eixo da aleta através de uma solução analítica ou de uma solução numérica.

### 2.1 Solução analítica

Conforme apresentado em Bergman e Lavine (2017), a Equação 1 é uma equação diferencial ordinária de segunda ordem que se torna homogênea ao se realizar a seguinte transformação de variável:

$$\theta(x) \equiv T(x) - T_\infty \quad (4)$$

resultando em

$$\frac{d^2 \theta}{dx^2} - m^2 \theta = 0 \quad (5)$$

em que

$$m^2 \equiv \frac{hP}{kA_c} \quad (6)$$

A solução geral da Equação 5 é

$$\theta(x) = \mathbb{C}_1 e^{mx} + \mathbb{C}_2 e^{-mx} \quad (7)$$

cujas constantes são determinadas ao se avaliarem as condições de contorno das Equações 2 e 3 empregando a transformação de variável da Equação 4:

$$\theta(0) \equiv \theta_b \quad (8)$$

$$-k \left. \frac{d\theta}{dx} \right|_{x=L} = h\theta(L) \quad (9)$$

Substituindo a Equação 7 nas Equações 8 e 9, obtêm-se, respectivamente

$$\theta_b = \mathbb{C}_1 + \mathbb{C}_2 \quad (10)$$

e

$$h (\mathbb{C}_1 e^{mL} + \mathbb{C}_2 e^{-mL}) = km (\mathbb{C}_2 e^{-mL} - \mathbb{C}_1 e^{mL}) \quad (11)$$

que, após algumas manipulações algébricas, chega-se à solução analítica da Equação 1 para o perfil de temperaturas:

$$\frac{\theta}{\theta_b} = \frac{\cosh m(L-x) + \frac{h}{mk} \sinh m(L-x)}{\cosh mL + \frac{h}{mk} \sinh mL} \quad (12)$$

### 2.2 Solução numérica

A solução numérica será realizada empregando o Método dos Volumes Finitos que consiste em integrar as equações de conservação em diversos volumes de controles contíguos na qual o domínio fora subdividido. A integração é aproximada através de esquemas de discretização e as variáveis são calculadas nos nós de tais volumes (VERSTEEG; MALALASEKERA, 2007). Para o caso em questão, a equação de conservação é a Equação 1 que será integrada em VCs idênticos de tamanho  $\Delta V = A_c \Delta x$ :

$$\begin{aligned} \int_{VC} \frac{d}{dx} \left( \frac{dT}{dx} \right) dV - \int_{VC} m^2 (T - T_\infty) dV &= 0 \\ \int_{SC} \frac{dT}{dx} dA - \int_{VC} m^2 (T - T_\infty) dV &= 0 \\ A_c \left. \frac{dT}{dx} \right|_e - A_c \left. \frac{dT}{dx} \right|_w - m^2 (T - T_\infty) \Delta V &= 0 \\ \left. \frac{dT}{dx} \right|_e - \left. \frac{dT}{dx} \right|_w - m^2 (T - T_\infty) \Delta x &= 0 \end{aligned} \quad (13)$$

A Equação 13 pode ser discretizada para cada um dos  $n$  nós centrados nos volumes de controle. Adotando diferenças centrais como esquema de discretização, obtém-se

para  $1 < i < n$ :

$$\frac{T_E - T_P}{\Delta x} - \frac{T_P - T_W}{\Delta x} - m^2 (T_P - T_\infty) \Delta x = 0 \quad (14)$$

Já para  $i = 1$ , é necessário aplicar a condição de contorno da Equação 2 para determinar o fluxo na superfície da base da aleta ( $w$ ). Assim:

$$\frac{T_E - T_P}{\Delta x} - \frac{T_P - T_b}{\frac{\Delta x}{2}} - m^2 (T_P - T_\infty) \Delta x = 0 \quad (15)$$

Do mesmo modo, necessita-se empregar a condição de contorno na superfície da extremidade da aleta (Equação 3) para determinar o fluxo nessa região ( $e$ ), desta vez discretizada também por diferenças centrais, como a seguir:

$$-k \frac{T_f - T_P}{\frac{\Delta x}{2}} = h (T_f - T_\infty) \quad (16)$$

em que a temperatura assumida na extremidade da aleta  $T_f$  é determinada reordenando a Equação 16:

$$T_f = \frac{T_P + \frac{h}{k} \frac{\Delta x}{2} T_\infty}{1 + \frac{h}{k} \frac{\Delta x}{2}} \quad (17)$$

Dessa forma, obtém-se para  $i = n$ :

$$\frac{T_f - T_P}{\frac{\Delta x}{2}} - \frac{T_P - T_W}{\Delta x} - m^2 (T_P - T_\infty) \Delta x = 0 \quad (18)$$

As Equações 14, 15 e 18 podem ser reorganizadas para assumir a seguinte forma geral:

$$a_P T_P = a_W T_W + a_E T_E + S_u \quad (19)$$

com

$$a_P = a_W + a_E - S_P \quad (20)$$

cujos coeficientes são encontrados na Tabela 1.

Nó	$a_W$	$a_E$	$S_P$	$S_u$
$i = 1$	0	$\frac{1}{\Delta x}$	$-m^2 \Delta x - \frac{2}{\Delta x}$	$m^2 T_\infty \Delta x + \frac{2}{\Delta x} T_b$
$1 < i < n$	$\frac{1}{\Delta x}$	$\frac{1}{\Delta x}$	$-m^2 \Delta x$	$m^2 T_\infty \Delta x$
$i = n$	$\frac{1}{\Delta x}$	0	$-m^2 \Delta x - \frac{1}{\frac{k}{h} + \frac{\Delta x}{2}}$	$m^2 T_\infty \Delta x + \frac{T_\infty}{\frac{k}{h} + \frac{\Delta x}{2}}$

**Tabela 1:** Expressões para os coeficientes das Equações 19 e 20.

Assim, para cada nó  $i$  existe uma equação algébrica que retorna o valor de  $T_P$ , mas que depende de tal valor para os nós adjacentes ( $T_W$  e  $T_E$ ). Logo, é necessário resolver simultaneamente todas as equações algébricas por meio de um sistema de equações caracterizado por uma matriz tridiagonal. Para  $n = 5$ , o sistema de equações é representado como a seguir:

$$\begin{bmatrix} a_{P,1} & -a_{E,1} & 0 & 0 & 0 \\ -a_{W,2} & a_{P,2} & -a_{E,2} & 0 & 0 \\ 0 & -a_{W,3} & a_{P,3} & -a_{E,3} & 0 \\ 0 & 0 & -a_{W,4} & a_{P,4} & -a_{E,4} \\ 0 & 0 & 0 & -a_{W,5} & a_{P,5} \end{bmatrix} \cdot \begin{bmatrix} T_1 \\ T_2 \\ T_3 \\ T_4 \\ T_5 \end{bmatrix} = \begin{bmatrix} S_{u,1} \\ S_{u,2} \\ S_{u,3} \\ S_{u,4} \\ S_{u,5} \end{bmatrix} \quad (21)$$

## 2.3 Resultados e discussão

Os cálculos foram realizados no software de computação numérica *Octave* e em uma planilha eletrônica desenvolvida no *Excel*. As Tabelas 2 e 3 apresentam, respectivamente, os valores das temperaturas calculados numérica e analiticamente para 5 e 10 nós igualmente espaçados juntamente a seus desvios relativos. A princípio, percebe-se que um maior número de volumes de controle, ou seja, uma malha mais fina, produz resultados mais exatos, como pode ser observado nos menores valores de desvio relativo encontrados para  $n = 10$  quando comparados com  $n = 5$ . Como exemplo, a temperatura na extremidade da aleta  $T_f$ , calculada pela Equação 17, divergiu em 0.92% da solução analítica para  $n = 5$  enquanto, para  $n = 10$ , o desvio foi de 0.23%. Isso demonstra que um refinamento da malha tende a produzir uma solução numérica mais próxima da analítica e, por conseguinte, dos valores reais.

$x$ (m)	$T_{\text{numérico}} (^{\circ}\text{C})$	$T_{\text{analítico}} (^{\circ}\text{C})$	Desvio relativo
0.1	246.921	251.083	1.66%
0.3	177.070	179.479	1.34%
0.5	132.350	133.734	1.03%
0.7	105.607	106.431	0.77%
0.9	92.560	93.142	0.62%
1.0	91.842	91.002	0.92%

**Tabela 2:** Temperaturas calculadas numérica e analiticamente para 5 nós ao longo do eixo  $x$  da aleta.

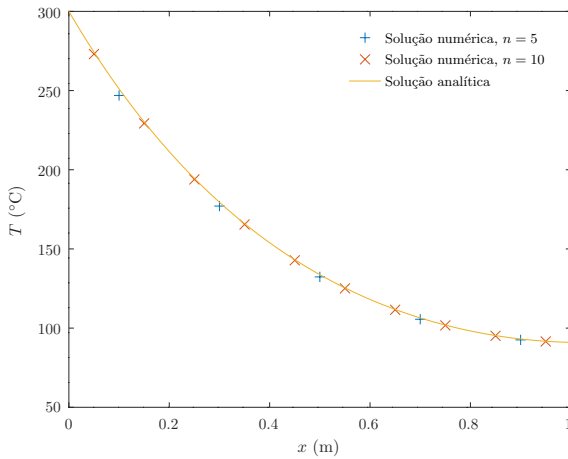
$x$ (m)	$T_{\text{numérico}} (^{\circ}\text{C})$	$T_{\text{analítico}} (^{\circ}\text{C})$	Desvio relativo
0.05	273.053	274.269	0.44%
0.15	229.280	230.209	0.40%
0.25	193.879	194.585	0.36%
0.35	165.434	165.969	0.32%
0.45	142.805	143.210	0.28%
0.55	125.089	125.397	0.25%
0.65	111.576	111.813	0.21%
0.75	101.726	101.914	0.18%
0.85	95.145	95.302	0.16%
0.95	91.570	91.713	0.16%
1.00	91.214	91.002	0.23%

**Tabela 3:** Temperaturas calculadas numérica e analiticamente para 10 nós ao longo do eixo  $x$  da aleta.

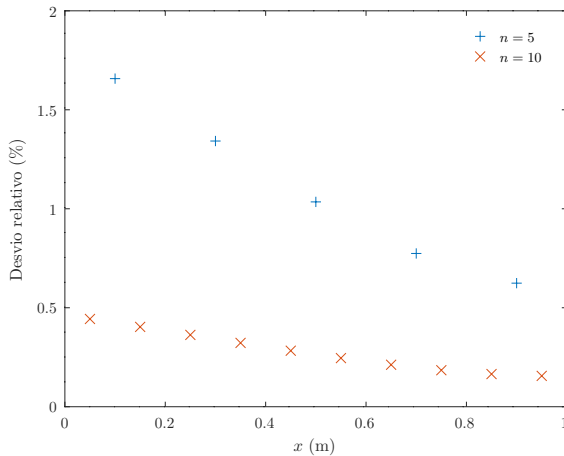
Pode-se também afirmar que o Método dos Volumes Finitos empregando diferenças centrais como esquema de discretização foi satisfatório em calcular as temperaturas ao longo do eixo da aleta, uma vez que o maior desvio relativo obtido foi de 1.66% para o primeiro nó na malha grossa. Isso é corroborado pelo fato de que a discretização por diferenças centrais possui precisão de segunda ordem e boa estabilidade quando adequadamente empregada em situações onde se predomina a difusão, como é o caso em questão (VERSTEEG; MALALASEKERA, 2007).

A Figura 1 apresenta o perfil de temperaturas obtido analiticamente através da Equação 12 e aqueles obtidos numericamente cujas coordenadas estão elencadas nas Tabelas 2 e 3, já a Figura 2 mostra os desvios relativos para as temperaturas determinadas em cada nó das soluções

numéricas com 5 e 10 volumes de controle. Nota-se que, para o mesmo valor de  $n$ , os maiores desvios estão localizados na região próxima à base da aleta e que, nesta mesma região, estão situados os maiores gradientes de temperatura. Um refinamento local da malha próximo à base seria capaz de reduzir tais desvios, sendo possível utilizar ainda o mesmo número de nós uma vez que o espaçamento entre eles próximo à extremidade da aleta poderia ser incrementado, diferente do que ocorre na presente solução em que o tamanho dos volumes de controle foi mantido uniforme. Em outras palavras, um bom refino da malha em regiões de elevados gradientes de determinada variável dependente é necessário para garantir uma boa precisão dos resultados.



**Figura 1:** Perfil de temperatura no interior da aleta determinado analítica e numericamente para 5 e 10 volumes de controle.



**Figura 2:** Desvio relativo entre as temperaturas determinadas analítica e numericamente para 5 e 10 volumes de controle.

À vista disso, conclui-se que o Método dos Volumes Finitos mostrou-se satisfatório para a solução do problema físico em análise e que a escolha de um esquema de discretização adequado e de uma boa malha é de suma importância para obtenção de bons resultados numéricos.

## Referências

BERGMAN, Theodore L.; LAVINE, Adrienne S. **Fundamentals of Heat and Mass Transfer**. 8. ed. [S.l.]: John Wiley & Sons, 2017. 992 p. ISBN 978-1-119-32042-5.

VERSTEEG, H. K.; MALALASEKERA, W. **An Introduction to Computational Fluid Dynamics: The Finite Volume Method**. 2. ed. [S.l.]: Pearson Education Limited, 2007. ISBN 978-0-13-127498-3.

## Apêndice A – Código usado para a solução numérica

A solução numérica empregando o Método dos Volumes Finitos foi realizada utilizando o seguinte código desenvolvido no software *Octave*:

```
% Parâmetros globais
global L P Ac Tb Tinf k h m2
L = 1; %m
P = 0.4; %m2
Ac = 0.01; %m2
Tb = 300; %°C
Tinf = 200; %°C
k = 100; %W/m.K
h = 10; %W/m2.K
m2 = (h*P)/(k*Ac);

% Função para a solução numérica do perfil de temperatura
function [x,T,A,B] = aleta_numerico(n)
global L P Ac Tb Tinf k h m2
dx = L/n;
x = linspace(dx/2,L-dx/2,n)';
A = zeros(n,n);
for i = 1:n
    if i == 1
        aW = 0;
        aE = 1/dx;
        Sp = -m2*dx-2/dx;
        Su = m2*Tinf+dx*2*Tb/dx;
        A(i,i+1) = -aE;
    elseif i == n
        aW = 1/dx;
        aE = 0;
        Sp = -m2*dx-1/(k/h+dx/2);
        Su = m2*Tinf+dx*Tinf/(k/h+dx/2);
        A(i,i-1) = -aW;
    else
        aW = 1/dx;
        aE = 1/dx;
        Sp = -m2*dx;
        Su = m2*Tinf+dx;
        A(i,i+1) = -aE;
        A(i,i-1) = -aW;
    end
    aP = aW+aE-Sp;
    A(i,i) = aP;
    B(i) = Su;
end
B = B';
T = A\B;
% x(end+1) = L;
% T(end+1) = (T(end)+((h/k)*(dx/2))*Tinf)/(1+(h/k)*(dx/2));

end

% Função para a solução analítica do perfil de temperatura
function T = aleta_analitico(x)
global L Tb Tinf k h m2
m = sqrt(m2);
theta_b = Tb-Tinf;
theta_ratio = (cosh(m*(L-x))+h/(m*k)*sinh(m*(L-x)))/(cosh(m*L)+h/(m*k)*sinh(m*L));
theta = theta_b*theta_ratio;
T = theta+Tinf;

end

% Saída
n1 = 5;
n2 = 10;
[x1,T1,A1,B1] = aleta_numerico(n1);
[x2,T2,A2,B2] = aleta_numerico(n2);
x = [0:0.001:L]';
T = aleta_analitico(x);
desvio = @n,a abs(n-a)./a*100;

% Gráficos
fig1 = figure(1);
plot(x1,T1,'+',x2,T2,'x',x,T)
legend(sprintf('Solução numérica, $n=%d$',n1),sprintf('Solução numérica, $n=%d$',n2),'Solução analítica')
legend box off
xlabel('$x$ (m)'), ylabel('$T$ ($^\circ$C)')
print(fig1,'fig_gr_perfil_aleta_regime_permanente','-dpdflatexstandalone'), hold off
system('pdflatex fig_gr_perfil_aleta_regime_permanente')
fig2 = figure(2)
plot(x1,desvio(T1,aleta_analitico(x1)),'+')
hold on
plot(x2,desvio(T2,aleta_analitico(x2)), 'x')
legend(sprintf('$n=%d$',n1),sprintf('$n=%d$',n2))
legend box off
xlabel('$x$ (m)'), ylabel('Desvio relativo (\%)')
print(fig2,'fig_gr_desvio_aleta_regime_permanente','-dpdflatexstandalone'), hold off
system('pdflatex fig_gr_desvio_aleta_regime_permanente')
system('rm *.inc.pdf *.aux *.log *.tex')
```